

Investigation of thermal properties of polycrystalline graphene

Gh. Ansaripour¹
Z. Bagheri²

Received: 2015.2.28

Accepted: 2015.11.24

Abstract

Single-layer graphene as a semiconductor without band gap and linear energy spectrum is a two dimensional system of massless Dirac fermions which is of crucial importance towards understanding of unusual electronic properties. In this work, the thermal conductivity of polycrystalline graphene in the low and high temperature ranges, (0-100) K and (250-450) K respectively, has been theoretically investigated. Using a model to take into account the contribution of three branches of acoustic phonons due to scattering on grain boundaries, point defects, sample borders (for low temperatures) and the umklapp processes of phonon-phonon scattering (for high temperatures), the thermal conductivity is calculated. We have shown that at low temperatures, due to the reduction of phonon-phonon scattering, the temperature dependence of thermal conductivity is as T^n ($n < 2$) and at high temperature it behaves as T^{-n} ($1.8 \leq n < 2$) which is in agreement with recent reported data.

Keywords: Thermal conductivity, poly crystalline graphene, grain boundaries, phonon scattering

¹ Associate Professor of Physics, Bu-Ali Sina University, gansaripour@basu.ac.ir

² Department of Physics, Yazd University

مجله فیزیک کاربردی دانشگاه الزهرا^(س)
سال پنجم، شماره ۲، پاییز و زمستان ۱۳۹۴

بررسی خواص گرمایی گرافین چند بلوردی

قاسم انصاری پور^۱
زهرا باقری^۲

تاریخ دریافت: ۹۳/۱۲/۹۷

تاریخ تصویب: ۹۴/۹/۳

چکیده

گرافین تک لایه‌ای به صورت نیمرسانا بدون گاف انرژی و طیف انرژی خطی، دستگاه دو بعدی از فرمیون‌های بدون جرم دیراک است که در فهم ویژگی‌های غیر عادی الکترونی بسیار مهم است. در این پژوهش، رسانندگی گرمایی گرافین چند بلوردی را در گستره دماهای پایین ($K = 100-0$) و دماهای بالا ($K = 250-450$) به طور نظری مورد بررسی قرار داده‌ایم. با استفاده از یک مدل و با درنظر گرفتن سه‌م سه شاخه فونون صوتی در آن ناشی از پراکندگی روی مرز دانه‌ها، کاستی‌های نقطه‌ای، مرزهای نمونه (در دماهای پایین) و فرایند‌های واگرد پراکندگی فونون-فونون (در دماهای بالا)

^۱ دانشیار فیزیک، دانشکده علوم، دانشگاه بولی سینا؛ gansaripour@basu.ac.ir

^۲ دانشکده فیزیک، دانشگاه یزد

رسانندگی گرمایی را محاسبه کرده‌ایم. نشان داده‌ایم که در دماهای پایین به علت کاهش پراکنده‌گی فونون فونون وابستگی رسانندگی گرمایی به دما به صورت $(n < T^n)$ و در دماهای بالا به صورت $(n < T^{-n})$ است که با داده‌های گزارش شده اخیر سازگار است.

واژه‌های کلیدی: رسانندگی گرمایی، گرافین چند بلوری، مرزدانه‌ها، پراکنده‌گی فونون

۱. مقدمه

خواص شیمیایی، مکانیکی و الکتریکی گرافین آن را برای کاربردهای الکترونیک قابل انعطاف^۱ جذاب ساخته است. گرچه تلاش‌ها به لحاظِ فقدانِ روش‌های مؤثر در سنتر انتقال و آلایش گرافین در کیفیت و مقیاس لازم برای کاربرد در ساخت لایه‌های نازک هادی شفاف گرافینی با مشکلاتی همراه است، اما اخیراً با روش اباحت شیمیایی بخار و با استفاده از متان لایه‌های نازک گرافین، GF² با مساحت زیاد از مرتبه چند سانتیمتر روی بسترها مسی رشد داده شده است [1]. در مرجع [2]، گزارشِ سنتر مستقیم GF بزرگ مقیاس روی لایه‌های نازک نیکل و ارائه دو روشِ متفاوت انتقال الگوی GF به بسترها دلخواه آمده است. شفافیت، رسانندگی و مشخصاتِ انتقالی دو قطبی لایه‌های نازک گرافینی حاکی از قابلیت و پتانسیل آن‌ها به عنوان مواد دیگری است که نامزد کاربردهای الکترونیکی و اپتو-الکترونیکی هستند [3]. همچنین در مرجع [4] جزئیاتِ ساخت الکترودهای شفاف گرافینی با مقاومتِ صفحه‌ای ۳۰ اهم بر مربع آمده است که در قابیک افزاره صفحه-لمسی با قابلیتِ تحمل بالای کرنش به کار رفته است.

خواص گرمایی هم در گرافین تک لایه‌ای و هم در گرافین چندلایه‌ای از لحاظِ نظری و تجربی جالب توجه بوده است. مشاهدات اخیرنشان می‌دهد که فیلم‌های گرافنی بزرگ

¹ flexible electronics

² graphene films

مقیاس، نوعاً چند بلوری و متسلسل از دانه‌های تک بلور بوده و توسعه مرز دانه‌ها از یکدیگر جدا شده‌اند. اندازه دانه‌ها به شرایط رشد بستگی دارد و در گستره صدها نانومتر تا ده‌ها میکرون گزارش شده‌اند [8-5]. پراکندگی فونون القایی مرز دانه‌ها، GB^۱ تأثیر قابل توجّهی بر رسانندگی گرمایی ^۲ در دماهای پایین دارد [9].

در کاری که در سال ۲۰۱۲ توسط نیکا و بلندین [5] انجام گرفت انتقال گرما در گرافین در دمایی نزدیک به دمای انتاق مورد پژوهش قرار گرفت. همچنین گزارش ساخت، مشخصه یابی و بازپخت تک لایه‌های گرافنی خود جمع شده آروماتیک پیوند عرضی القایی به روش تابش الکترونی^۳ در مرجع [10] آمده است.

اتم‌های کربن از نظر ترتیب پر شدن اوربیتال‌ها، دارای ساختار الکترونی $1s^2 2s^2 2p^2$ هستند. بنابراین چهار الکترون آزاد دارند که امکان تشکیل چهار پیوند را برای این اتم‌ها مهیا می‌سازد. پیوند‌هایی که این اتم‌ها تشکیل می‌دهند در ترکیبات گوناگون به شکل‌های متفاوتی دیده می‌شود و بنابراین خواص متفاوتی نیز ایجاد می‌کند. سیستم‌هایی که پایه کربنی دارند به خاطر تنوع هیریداسیون‌هایشان ساختارهای متفاوت نامحدودی را نشان می‌دهند که هر کدام از آن‌ها ویژگی‌های فیزیکی متفاوتی به خود می‌گیرند. این تنوع در ویژگی‌های فیزیکی غالب ناشی از متفاوت بودن بعد این ساختارهاست.

تا سال ۱۹۸۰ فقط سه نوع آلوتروب سه بعدی کربن شناخته شده بود که معروف‌ترین آن‌ها الماس، گرافیت و نوع بی‌شکل کربن است. در الماس که از سخت‌ترین اجسام طبیعی است هر اتم کربن با چهار اتم کربن دیگر پیوند دارد و هیریداسیون اتم‌های کربن در این ساختار به شکل sp^3 می‌باشد. در گرافیت اتم‌های کربن دارای هیریداسیون sp^2 بوده و شش گوشه‌های منتظم کربن صفحاتی را ایجاد می‌کنند که هر کدام از این صفحات از طریق پیوند ضعیف واندروالس به صفحات زیرین متصل می‌شوند. این تک صفحات موجود در گرافیت که گرافین نامیده می‌شوند، توجه زیادی را به خود جلب کرده‌اند. انتقال گرما یکی از فرآیندهای مهم انتقال انرژی در آینده است. فونون‌ها حامل‌های اصلی انرژی گرمایی در نیم‌رساناهای مواد دی‌الکتریک هستند. شبیه قانون اهم برای

¹ grain boundaries

² electron-radiation induced cross-linking of aromatic self-assembled monolayers

رسانندگی الکتریکی، قانون فوریه یک قانون اساسی برای انتقال گرما در جامدات است. برای فهم بسیاری از خواصِ بنیادی جامدات باید انرژی گرمایی را به خوبی بشناسیم. گرچه گرافین از شبکه‌های لانه زنبوری تشکیل شده است، اما مشاهدات نشان می‌دهند که ساختار گرافین واقعی همیشه دارای نقص است. در واقع یکی از این نقص‌ها این است که ساختار کربن را به بی‌نهایت شبکه لانه زنبوری می‌شکند. بنابراین انواع اختلالات را در مرزها و مرز دانه‌ها داریم. مقدار و ماهیت نقص به نحوه رشد بستگی داشته و از نمونه‌ای به نمونه دیگر متفاوت است. نتایج تجربی نشان‌گر این است که وجود مرزدانه‌ها بر روی برخی خواصِ الکتریکی، مکانیکی و حرارتی گرافین اثر دارد. از جمله می‌توان کاهشِ تحرکِ الکترونیکی [1-4]، رسانندگی گرمایی [11] و کاهشِ مقاومتِ الکتریکی [12] را ذکر کرد. از آن جا که گرافین دو بعدی است و به اندازه یک اتم کربن ضخامت دارد، مرزدانه‌ها در گرافین هویت‌یک بعدی دارند. فونون‌های صوتی و اپتیکی حاملان گرما در بلور بوده، مرزدانه‌ها سبب پراکندگی فونون‌ها شده و به این ترتیب یکی از عوامل مؤثر در تغییرِ میزانِ رسانندگی گرمایی هستند.

۲. مبانی نظری

۲-۱. اساس انتقال فونون

رسانندگی گرمایی جامدات طبقِ قانون فوریه، به صورت زیر بیان می‌شود [13,14]:

$$\Phi = -\kappa \nabla T \quad (1)$$

که Φ شارِ گرمایی، ∇T گرادیانِ دمایی و $(\kappa_{\alpha\beta})$ تansورِ رسانندگی گرمایی است. معمولاً رسانندگی گرمایی به جریانِ گرمایی وابسته نبوده و رفتار κ ثابت است. در یک بازهِ دمایی وسیع، رسانندگی گرمایی تابعی از دماسht و $\kappa(T) = \kappa_e + \kappa_p$. به طور کلی در جامدات، گرما توسطِ فونون‌ها و الکترون‌ها منتقل می‌شود، بنابراین داریم $\kappa = \kappa_e + \kappa_p$ که κ_e و κ_p به ترتیب مربوط به سهم فونون و الکترون است. در فلزات غالباً متناسب با چگالیِ حامل‌هایی است که آزادانه حرکت می‌کنند و با استفاده از محاسبه رسانندگی الکتریکی با قانونِ ویدمان فرانزتر به دست می‌آید:

$$\frac{\kappa_e}{\sigma T} = \frac{\pi^2 k_B^2}{3e^2} \quad (2)$$

فونون‌ها معمولاً حامل‌های اساسی در انتقال گرما در مواد کربنی هستند. رسانندگی گرمایی فونون‌ها با رابطه زیر داده می‌شود [15] :

$$\kappa_p = \sum_j \int C_j(\omega) v_j^2(\omega) \tau_j(\omega) d\omega \quad (3)$$

در این رابطه جمع بر روی شاخه‌های فونون قطبیده است، که یکی مربوط به شاخه‌ی فونون صوتی طولی و دیگری مربوط به دو شاخه فونون عرضی است. $\tau_j(\omega)$ زمان واهلش فونون، $C_j = \hbar \omega_j \partial N_0(\hbar \omega_j / k_B T) / \partial T$ که ظرفیت گرمایی مربوط به شاخه j است، v سرعت گروه فونون و $N_0(\frac{\hbar \omega_j}{k_B T}) = [\exp(\frac{\hbar \omega_j}{k_B T}) - 1]^{-1}$ تابع پخش تعادلی فونونی بوز-اینشتین می‌باشد.

پراکندگی فونون‌های مرزی از رابطه زیر محاسبه می‌شود [15] :

$$\frac{1}{\tau_{B,j}} = \frac{v_{x,j}}{D} \frac{1-p}{1+p} \quad (4)$$

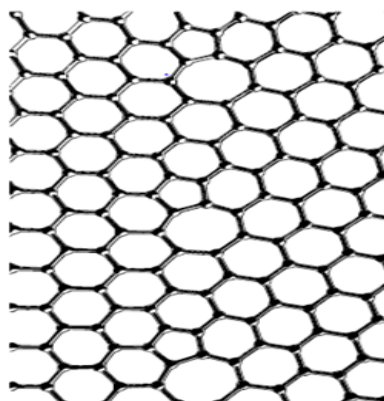
که D اندازه دانه‌ها و p پارامتر احتمال پراکندگی در مرز است. اگر $p=1$ باشد، آنگاه مقاومت گرمایی نداریم و چنانچه $p=0$ باشد، تغییرات اندازه حرکت زاویه‌ای به مسیر آزاد فونون محدود می‌شود.

۲-۲. رسانندگی گرمایی گرافین چند بلوری

گرچه رسانندگی گرمایی گرافین مورد بررسی قرار گرفته، اما هنوز فهم کاملی از سازوکار آن در گرافین چند بلوری در دسترس نیست. برای نخستین بار مطالعه رسانندگی گرمایی گرافین چند بلوری، بر اساس نوع مرزدانه‌ها و اندازه دانه‌ها در یک دستگاه، نشان داد که رسانندگی گرمایی فوق العاده‌ای در سرتاسر مرزدانه‌ها وجود دارد، در حالی که برای ناحیه‌ای با نقص آزاد دانه، صرف نظر از نوع دانه و اندازه آن، با کاهش رسانندگی گرمایی روبرو هستیم. این تغییرات در دماهای بالا و برای دانه‌های کوچک‌تر بیشتر حائز اهمیت است.

۳-۲. رسانندگی گرمایی گرافن چند بلوری در دمای پایین

در اینجا با استفاده از مدلی که توسعه [9] ارائه شده K را در دماهای پایین محاسبه می‌کنیم. به طور کلی شش شاخه فونونی در رسانندگی گرمایی سهیم‌اند (سه شاخه فونون صوتی و سه شاخه فونون اپتیکی). با این حال در دمای پایین تنها سه شاخه فونون صوتی مهم هستند که عبارتند از: فونون صوتی طولی (LA)، فونون صوتی عرضی (TA) با بسامد زاویه‌ای $\omega_{ZA} = \frac{q^2}{2m}$ و فونون منطقه مرزی (ZA) با $m = \sqrt{\rho_{2D}/K}$. در دمای پایین فرآیندهای واگرد ناشی از پراکندگی فونون-فونون اصولاً يخ زده است. در شکل (۱) نمودار یک مرز دانه در گرافن چند بلوری مشاهده می‌شود. مشخص شده است که می‌توان مرزدانه‌ها را به طور طبیعی در گرافن با ساختار پنج گوش-هفت گوش توصیف کرد [17,18]. در شکل (۱) مرزدانه‌ای به طول L متشکل از ۵ تا ۷ جفت حلقه را در نظر می‌گیریم.



شکل ۱. تکه مرزدانه گرافنی چند بلوری به طول L [9]

حال با در نظر گرفتن متغیر $x = \frac{\hbar\omega}{(k_B T)}$ برای فونون‌های صوتی طولی و عرضی، رابطه رسانندگی گرمایی به صورت زیر خواهد بود؛ که در آن θ_D دمای دبای و $C_S = \frac{k_B^3 l_0}{(4\pi\hbar^2 v_s)}$ می‌باشد:

$$\kappa_s = \frac{C_s T^2}{h_{eff}} \int_0^{T/2} \lambda_s(x, T) \frac{x^3 e^x dx}{(e^x - 1)^2} \quad (5)$$

$$\lambda_s^{-1}(x, T) = 1 + (x \frac{T}{T_{PD}})^3 + x \frac{T}{T_{GB}} g(x \frac{T}{T_0}) \quad (6)$$

$$g(z) = J_0^2(z) + J_1^2(z) - \frac{J_1(z) J_0(z)}{z} \quad (7)$$

$J_i(z)$ توابع بسل هستند. دمای مربوط به پراکندگی ناشی از نقصِ نقطه‌ای از رابطه زیر به دست می‌آید:

$$T_{PD} = \frac{\hbar v_s}{k_B} \left(\frac{4}{S_0 \Gamma l_0} \right)^{1/3} \quad (8)$$

دمای مربوط به پراکندگی ناشی از ناهمواری مرزی عبارت است از:

$$T_0 = \frac{\hbar v_s}{L k_B} \quad (9)$$

دمای مربوط به پراکندگی فونون ناشی از نقصِ نقطه‌ای از رابطه زیر به دست می‌آید؛ فاصله بین مرزدانه‌ها، a در نظر گرفته شده است:

$$T_{GB} = \frac{\hbar v_s}{(2D^2 v^2 L^2 k_B l_0 n_i)} \quad (10)$$

برای روشن شدن نقشِ مرزدانه‌ها در پراکندگی از بخشِ دوام معادله (6) که مربوط به پراکندگی نقصِ نقطه‌ای PD¹ است صرفاً می‌کنیم و برای $T_0 > T_{GB}$ و $xT \gg T_0$ داریم

$$T_0 \approx l_0 \left(1 + 2 \frac{T_0}{\pi T_{GB}} + O\left(\frac{T_0^3}{T_{GB}^2}\right) \right)^{-1}$$

که در آن پراکندگی فونون‌های GB قابل توجه است. T_0 در زمانی که طولِ موجِ فونون قبل مقایسه با اندازه مرزدانه باشد مقدار مشخصی دارد. با در نظر گرفتن چگالی دانه‌ها به صورت

$$n_i = (a + L)^{-2} \quad (11)$$

این رابطه وابستگی دما به اندازه مرزدانه‌ها به خوبی نمایش داده می‌شود.

¹ point defect

رابطه رسانندگی گرمایی برای فونون‌های ZA از رابطه زیر محاسبه می‌شود:

$$\lambda_{ZA}^{-1}(x, T) = 1 + \gamma_{ZA}^2(x, T)((x \frac{T}{T_{PD}})^{\frac{3}{2}} + \sqrt{x \frac{T}{T_{GB}}} g(\sqrt{x \frac{T}{T_0}})) \quad (10)$$

$$\kappa_{ZA} = \frac{C_{ZA} T^{\frac{3}{2}}}{h_{eff}} \int_0^{q_{ZA}} \lambda_{ZA}(x, T) \frac{x^{\frac{5}{2}} e^x dx}{(e^x - 1)^2} \quad (11)$$

$$C_{ZA} = \sqrt{2m k_B^{\frac{5}{2}}} \frac{l_0}{(4\pi \hbar^{\frac{3}{2}})} \quad (12)$$

برای فونون‌های ZA داریم:

$$T_{PD} = \frac{1}{m} \left(\frac{4\sqrt{2}}{S_0 \Gamma l_0} \right)^{\frac{2}{3}} \frac{\hbar}{k_B}, T_0 = \left(\frac{\hbar}{2L^2 m k_B} \right), T_{GB} = \frac{\hbar (1 + \frac{a}{L})^4}{8mk_B [D^2 \nu^2 l_0]^2},$$

$$D = \pi^{\frac{(1-2\sigma)}{(1-\sigma)}}$$

ثابت گرونایزن برای فونون ZA به بردار موج q وابسته [19] و برابر است با $\gamma_{ZA} = -1 - 80 \left(\frac{q}{q_D} - 1 \right)^2$ در حالی که برای فونون‌های LA و TA بردار موج ثابت است.

۴-۴. رسانندگی گرمایی گرافین چند بلوری در دمای بالا

برای رسانش هر شاخه فونون قطبیده، پارامتر گرونایزن γ_S (که مستقل از بردار موج فونون است)، سرعت و فرکانس خاصی را در نظر می‌گیریم. پارامتر γ_S با میانگین گیری (q) برای همه فونون‌ها به دست می‌آید (q بردار موج فونون است). برای سه شاخه فونون ناشی از پراکندگی‌های واگرد [20, 21] روابط را پیگیری می‌کنیم. طول عمر فونون‌های LA و TA از رابطه زیر محاسبه می‌شود:

$$\tau_{U,S} = \frac{1}{\gamma_S^2} \frac{M \nu_S^2}{k_B T} \frac{\omega_{S,max}}{\omega^2} \quad (13)$$

v_S سرعت متوسط فونون، T دمای خالص، $\omega_{S,max}$ ماکزیمم فرکانس برای یک شاخه فونون و M جرم سلول واحد گرافنی است. رسانندگی گرمایی به طور کلی با رابطه زیر بیان می‌شود:

$$\kappa = \frac{1}{4\pi k_B T^2 h} \times \sum_S \int_{q_{\min}}^{q_{\max}} \left\{ [\hbar\omega_S(q) \frac{d\omega_S(q)}{dq}]^2 \tau_{U,S} \frac{e^{\hbar\omega_S/(k_B T)}}{(e^{\hbar\omega_S/(k_B T)} - 1)^2} q \right\} dq \quad (14)$$

در اینجا می‌توانیم $\omega_S(q) = v_S q$ را در نظر گرفته و معادله (۱) را به صورت زیر بازنویسی کنیم:

$$\kappa = \frac{M}{4\pi Th} \sum_S \frac{\omega_{S,\max} v_S^2}{\gamma_S^2} F(\omega_{S,\min}, \omega_{S,\max}) \quad (15)$$

$$F(\omega_{S,\min}, \omega_{S,\max}) = \int_{\hbar\omega_{S,\min}/k_B T}^{\hbar\omega_{S,\max}/k_B T} x \frac{e^x}{[e^x - 1]^2} dx = \left\{ \ln[e^x - 1] + \frac{x}{1 - e^x} - x \right\}_{\hbar\omega_{S,\min}/k_B T}^{\hbar\omega_{S,\max}/k_B T} \quad (16)$$

در روابط بالا، $x = \hbar\omega/(k_B T)$ ، فرکانس ماکزیمم از پراکندگی فونون در منطقه بریلوفن در فرکانس می‌نیمم طبق رابطه زیر به دست می‌آید:

$$\omega_{S,\min} = \frac{v_S}{\gamma_S} \sqrt{\frac{M v_S}{k_B T} \frac{\omega_{S,\max}}{L}} \quad (17)$$

$$\hbar\omega_{S,\max} > k_B T$$

در صورتی که داشته باشیم $\hbar\omega_{S,\max} < k_B T$ ، معادله (۱۶) به صورت زیر داده می‌شود:

$$F(\omega_{S,\min}) \approx -\ln[\exp(\hbar\omega_{S,\min}/k_B T) - 1] + \frac{\hbar\omega_{S,\min}}{k_B T} \frac{\exp(\hbar\omega_{S,\min}/k_B T)}{\exp(\hbar\omega_{S,\min}/k_B T) - 1} \quad (18)$$

۳. نتایج و محاسبات نظری

۳-۱. بررسی وابستگی رسانندگی گرمایی به دما

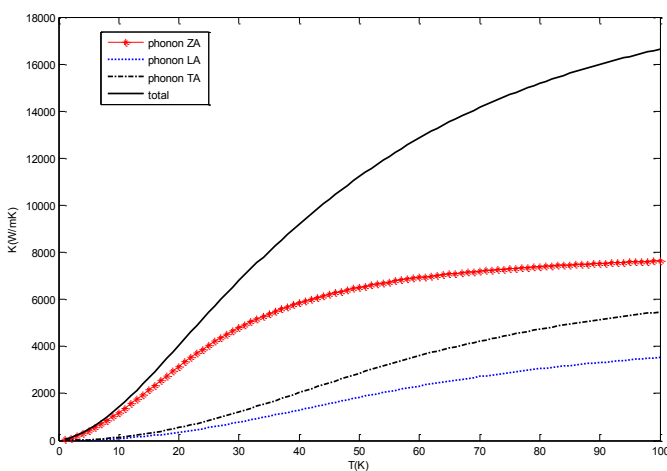
از آنجا که در رسانندگی گرمایی K در دمای پایین هر سه شاخه فونون صوتی مؤثر هستند، به منظور درک بهتر تأثیر دما بر رسانندگی گرمایی، با استفاده از معادلات (۵) و (۱۱) و اطلاعات موجود در جدول (۱) نمودار تغییرات رسانندگی گرمایی را بر حسب دما به ترتیب برای شاخه‌های فونونی LA (نقطه چین)، TA (خط نقطه)، ZA (نشانه) و مجموع هر سه شاخه (خط توپر) برای نسبت $a/L = 50 nm$ در شکل (۲)رسم می‌کنیم. این شکل نشان می‌دهد که هر سه شاخه فونون اکوستیکی در K به طور مساوی مشارکت نداشته و سهم فونون منطقه مرزی بیشتر است. شکل‌های (۳) و (۴) مانند شکل (۲) بوده ولی به

۳۲ / بررسی خواص گرمایی گرافن چند بلوری

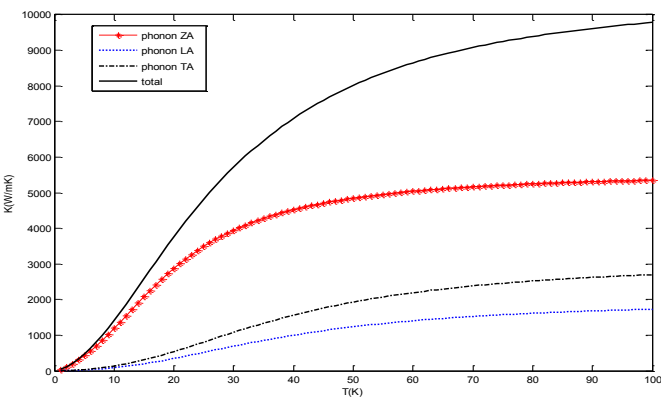
ترتیب برای نسبت‌های $a/L=20\text{ nm}$ و $a/L=2\text{ nm}$ رسم شده‌اند. شکل‌های (۴-۲) نشان می‌دهند که با کوچکتر بودن دانه‌ها و افزایش فاصله بین مرزدانه‌ها افزایش می‌یابد، زیرا در این حالت پراکندگی فونون‌ها کمتر است.

جدول ۱. داده‌های مورد نیاز برای رسم نمودارها

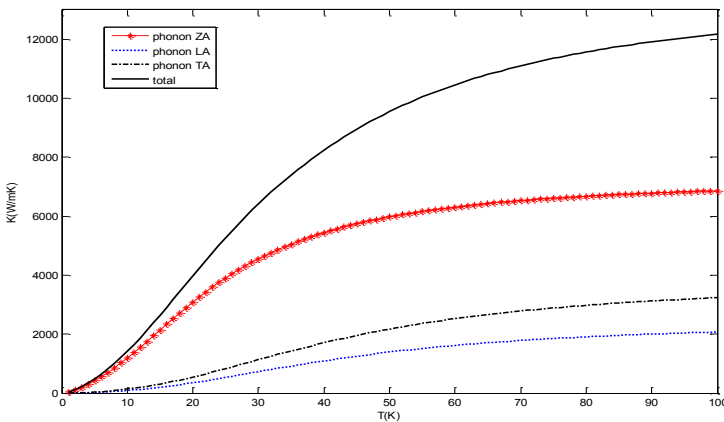
S_0	Γ	P	D	L	h_{eff}
$4.3 \times 10^{-22} \text{ m}^{-2}$	2×10^{-4}	0.9	$5\mu\text{m}$	2.46 nm	0.69 nm
M	v_s	θ_D	Q	γ_s	σ
10^6 s/m^2	$V_{LA}=21.3 \times 10^3 \text{ m/s}$ $V_{TA}=13.6 \times 10^3 \text{ m/s}$	$\theta_{LA}=1950K$ $\theta_{TA}=902K$ $\theta_{ZA}=685K$	2 nm	$\gamma_{LA}=1.8$ $\gamma_{TA}=0.75$ $\gamma_{ZA}=1$	0.15



شکل ۲. نمودار رسانندگی گرمایی بر حسب دما برای جمع سه شاخه فونونی به ازای $a/L=50\text{ nm}$

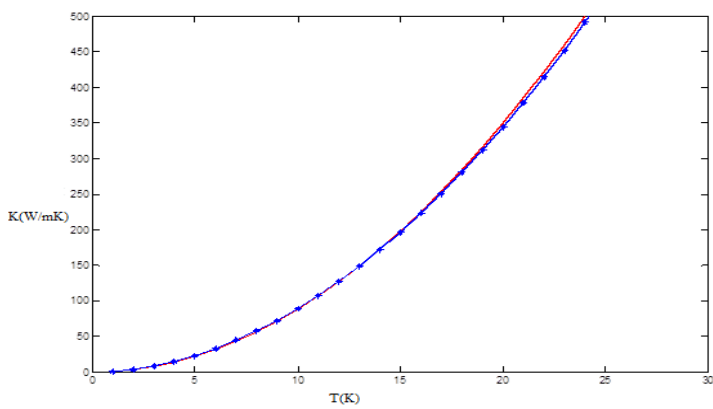


شکل ۳. نمودار رسانندگی گرمایی بر حسب دما برای جمع سه شاخه فونونی به ازای $a/L=2$ nm

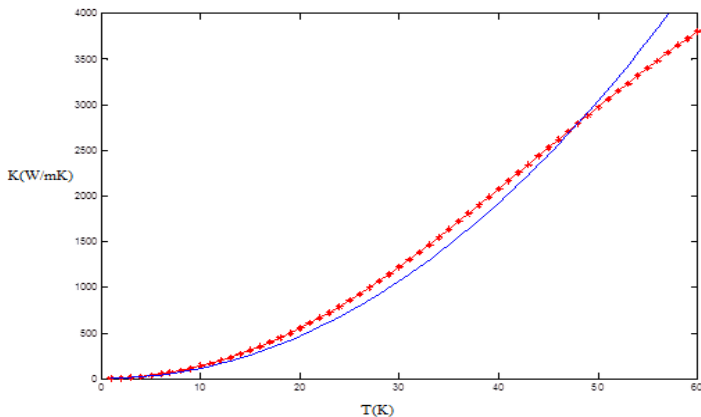


شکل ۴. نمودار رسانندگی گرمایی بر حسب دما برای جمع سه شاخه فونونی به ازای $a/L=20$ nm

برای بررسی بیشتر رفتار بر حسب دما می‌توان با توجه به شکل‌های (۲-۴) تغییرات κ را بر حسب دما برای فونون‌های صوتی طولی و عرضی در دماهای پایین به صورت $\kappa \sim T^n$ در نظر گرفت. شکل‌های (۵) و (۶) مقدار n را نشان می‌دهند که شبیه نتیجه [9] می‌باشد.



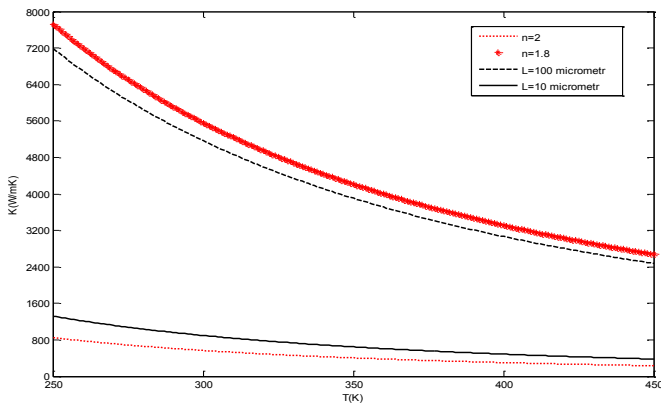
شکل ۵. نمودار رسانندگی گرمایی بر حسب دما برای $T^{1.95}$ برای فونون‌های طولی



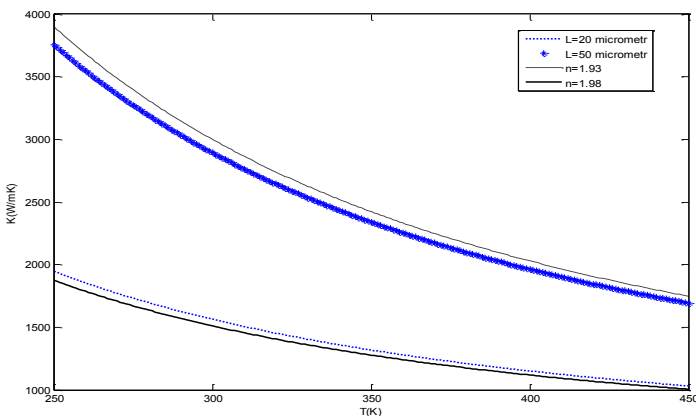
شکل ۶. مقایسه نمودار رسانندگی گرمایی و نمودار T^2 برای فونون‌های عرضی برای $a/L=2 nm$

برای مطالعه و استگی رسانندگی گرمایی به دما در دماهای بالا، در شکل (۷) منحنی تغییرات κ در گستره دمای K (250-450) برای $L=10,100 \mu m$ همراه با تغییرات $\kappa \sim T^{-n}$ برای $n=1.8,2$ به ترتیب (نشانه نقطه چین) نمایش داده شده است. شکل (۸) مانند شکل (۷) ولی برای $L=20,50 \mu m$ همراه با تغییرات $\kappa \sim T^{-n}$ برای $n=1.93,1.98$ به ترتیب (خط چین، خط توپر) رسم شده است. با توجه به شکل‌های (۷) و

(۸) می‌توان دریافت که برای مقادیر بزرگتر L رسانندگی گرمایی با توانهای کوچکتری از معکوس دما متناسب است، البته برای ورقه‌هایی با بزرگی μm (5-100) در دماهای نسبتاً بالا κ با T^{-n} (۱.۸ ≤ n ≤ ۲) متناسب است.



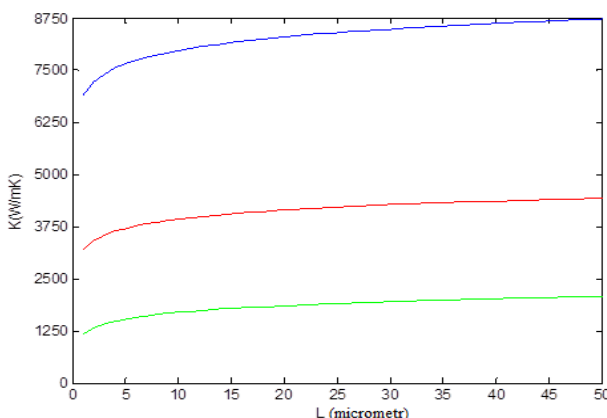
شکل ۷. مقایسه تغییرات رسانندگی گرمایی برای μm ۱۰, ۱۰۰ برای $K \propto T^{-n}$
 $n = 1.8, 2$ برای $K \propto T^{-n}$



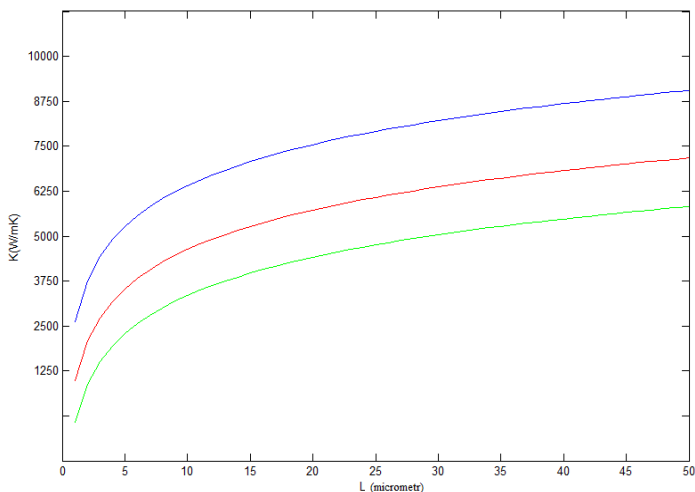
شکل ۸. مقایسه تغییرات رسانندگی گرمایی برای μm ۲۰, ۵۰ برای $K \propto T^{-n}$
 $n=1.93, 1.98$ برای $K \propto T^{-n}$

۲-۳. بررسی وابستگی رسانندگی گرمایی به اندازه ورقه گرافن

با استفاده از روابط^(۱۵) و^(۱۶) نمودار تغییرات رسانندگی گرمایی را بر اساس اندازه‌های متفاوت ورقه‌های گرافن، رسم نموده‌ایم. شکل^(۹) نمودار تغییرات^K بر حسب اندازه دانه‌ها برای ثابت^{گرونایزن طولی} $\gamma_{LA} = 1.8$ و ثابت‌های^{گرونایزن عرضی} متفاوت^{0.6, 0.7, 0.9} به ترتیب از پایین به بالا را نشان می‌دهد. شکل^(۱۰) تیز مانند شکل^(۹) ولی برای ثابت‌های^{گرونایزن طولی} متفاوت^{2, 1.8, 1.6 و ثابت^{گرونایزن عرضی} $\gamma_{TA} = 0.7$ می‌باشد. مشاهده می‌شود که^K به ثابت^{گرونایزن} برای امواج صوتی طولی و عرضی وابسته بوده و با افزایش^{مقدار L} رسانندگی گرمایی نیز افزایش می‌یابد، و از آن جا که در رابطه^(۱۵) جمع بر روی شاخه فونون قطبیده طولی و عرضی صورت می‌گیرد، با جمع پارامتر^{گرونایزن} برای امواج صوتی طولی و عرضی،^K افزایش می‌یابد. نتایج تجربی نشان می‌دهند که برای مقادیر^L کوچک^L، رسانندگی گرمایی وابستگی شدیدی به اندازه ورقه داشته، اما برای مقادیر^L بزرگ^{L > 10 nm} میزان این وابستگی کمتر می‌شود [۲۲, ۲۳]. از مقایسه شکل‌های^(۹) و^(۱۰) دیده می‌شود که تغییر در ثابت^{گرونایزن} برای فونون‌های صوتی سبب^{ایجاد} تغییرات بزرگ‌تری در مقدار رسانندگی گرمایی می‌شود.}



شکل ۹. تغییرات رسانندگی گرمایی بر اساس اندازه دانه‌ها با تغییر در ثابت^{گرونایزن} $\gamma_{LA} = 1.8$ و^K به ترتیب از پایین به بالا ^{$\gamma_{TA} = 0.6, 0.7, 0.9$}



شکل ۱۰. تغییرات رسانندگی گرمایی براساس اندازه دانه ها با تغییر در ثابت گروناizen $\gamma_{LA} = 1.6, 1.8, 2$ و $\gamma_{TA} = 0.7$ به ترتیب از پایین به بالا

۴. نتیجه گیری

محاسبات نشان می دهد، رسانندگی گرمایی در دماهای پایین متناسب با T^n و در دماهای بالا متناسب با T^{-n} است. منحنی رسانندگی گرمایی در دماهای پایین (0-100K) با افزایش دما، به صورت صعودی است اما در دماهای نسبتاً بالا (250-450K) شاهد روند نزولی در رسانندگی گرمایی هستیم. چنین رفتاری نشان دهنده تغییر در ساختار بلوری گرافن و تغییر در اندازه طول موج فونون های منتقل کننده گرماست. در دماهای پایین به علت کاهش پراکندگی فونون-فونون، رسانندگی گرمایی با افزایش دما روند صعودی دارد. با افزایش اندازه ورقه گرافنی، رسانندگی گرمایی افزایش می یابد.

۵. منابع

- [1] X. Li, W. Cai, J. An, S. Kim, J. Nah, D. Yang, R. Piner, A. Velamakanni, I. Jung, E. Tutuc, S. K. Banerjee, L. Colombo, and R. S. Ruoff; *Science* **324**, No. 5932 (2009) 1312–1314.
- [2] K. S. Kim, Y. Zhao, H. Jang, S. Y. Lee, J. M. Kim, K. S. Kim, J. H. Ahn, P. Kim, J.Y. Choi, and B.H. Hong; *Nature* **457**, No. 7230 (2009) 706–710.

- [3] A. Reina, X. Jia, J. Ho, D. Nezich, H. Son, V. Bulovic, M.S. Dresselhaus, and J. Kong; *Nano Lett.* **9**, No.1 (2009) 30–35.
- [4] S. Bae, H. K. Kim, Y. Lee, X. Xu, J. S. Park, Y. Zheng, J. Balakrishnan, T. Lei, H. R. Kim, and Y. I. Song; *Nat Nanotechnol.* **5**, No. 8 (2010) 574–578.
- [۵] D. L. Nika and A. A. Balandin; *J. Phys. Condens. Matter.* **24** (2012) 233203.
- [6] J. da Silva Araujo and R. W. Nunes; *Phys. Rev. B* **81** (2011) 073408.
- [7] P. Y. Huang, C. S. Ruiz-Vargas, A. M. van der Zande, W. S. Whitney, M. P. Levendorf, J.W. Kevek, S. Garg, J. S. Alden, C.J. Hustedt, Y. Zhu, J. Park, P.L. McEuen, and D.A. Muller; *Nature* **469** (2011) 389–392.
- [8] K. Kim, Z. Lee, W. Regan, C. Kisielowski, M.F. Crommie, and A. Zettl; *ACS Nano* **5** (2011) 2142.
- [9] D.V. Kolesnikov and V.A. Osipov; *Euro. Phys. Lett.* **100** (2012) 26004.
- [10] A. Turchanin, D. Weber, M. Bünenfeld, C. Kisielowski, M.V. Fistul, K.B. Efetov, T. Weimann, R. Stosch, J. Mayer, and A. Gölzhäuser; *ACS Nano* **5**, No. 5 (2011) 3896–3904.
- [11] W. Cai, A.L. Moore, Y. Zhu, X. Li, S. Chen, and L. Shi; *Nano Lett.* **10** (2010) 1645–1651.
- [12] R. Grantab, V.B. Shenoy, and R.S. Ruoff; *Science* **330**, No. 6006 (2010) 946-948.
- [13] G. P. Srivastava; “*The Physics of Phonons*”, Taylor and Francis, Bristol (1990).
- [14] A.F. Mills; “*Basic Heat and Mass Transfer*”, Prentice Hall, U.S.A. (1999).
- [15] J. Maultzsch, S. Reich, C. Thomsen, H. Requardt, and P. Ordejon; *Phys. Rev. Lett.* **92** (2004) 075501.
- [16] J.-U. Lee, D. Yoon, H. Kim, S. W. Lee, and H. Cheong; *Phys. Rev. B* **83** (2011) 081419.
- [17] X. S. Li, Y. W. Zhu, and W. W. Cai; “*Transfer of large-area 16rapheme films for high performance transparent conductive electrodes*”; *Nano Lett.* **9**, No. 12 (2009) 4359–436.

- [18] A.K. Geim and K.S. Novoselov; “*The rise of 17rapheme*”; *Nature Materials* **6**, No. 3 (2007) 183–191.
- [19] D.L. Nika, E.P. Pokatilov, A.S. Askerov, and A.A. Balandin; *Phys. Rev. B* **79** (2009) 155413.
- [20] N. Mounet and N. Marzari; *Phys. Rev.* **71** (2005) 205214.
- [21] L. Wirtz and A. Rubio; *Solid State Commun.* **131** (2004) 141-142.
- [22] A.A. Balandin, and K.L. Wang; “*Significant decrease of the lattice thermal conductivity due to phonon confinement in a free-standing semiconductor quantum well*”; *Phys. Rev. B* **58** (1998) 1544.
- [23] P. K. Schelling, S. R. Phillpot, and P. Keblinski; *J. Appl. Phys.* **95**, No. 11 (2004) 6082–6091.